

2025 RELEASE UNDER E.O. 14176

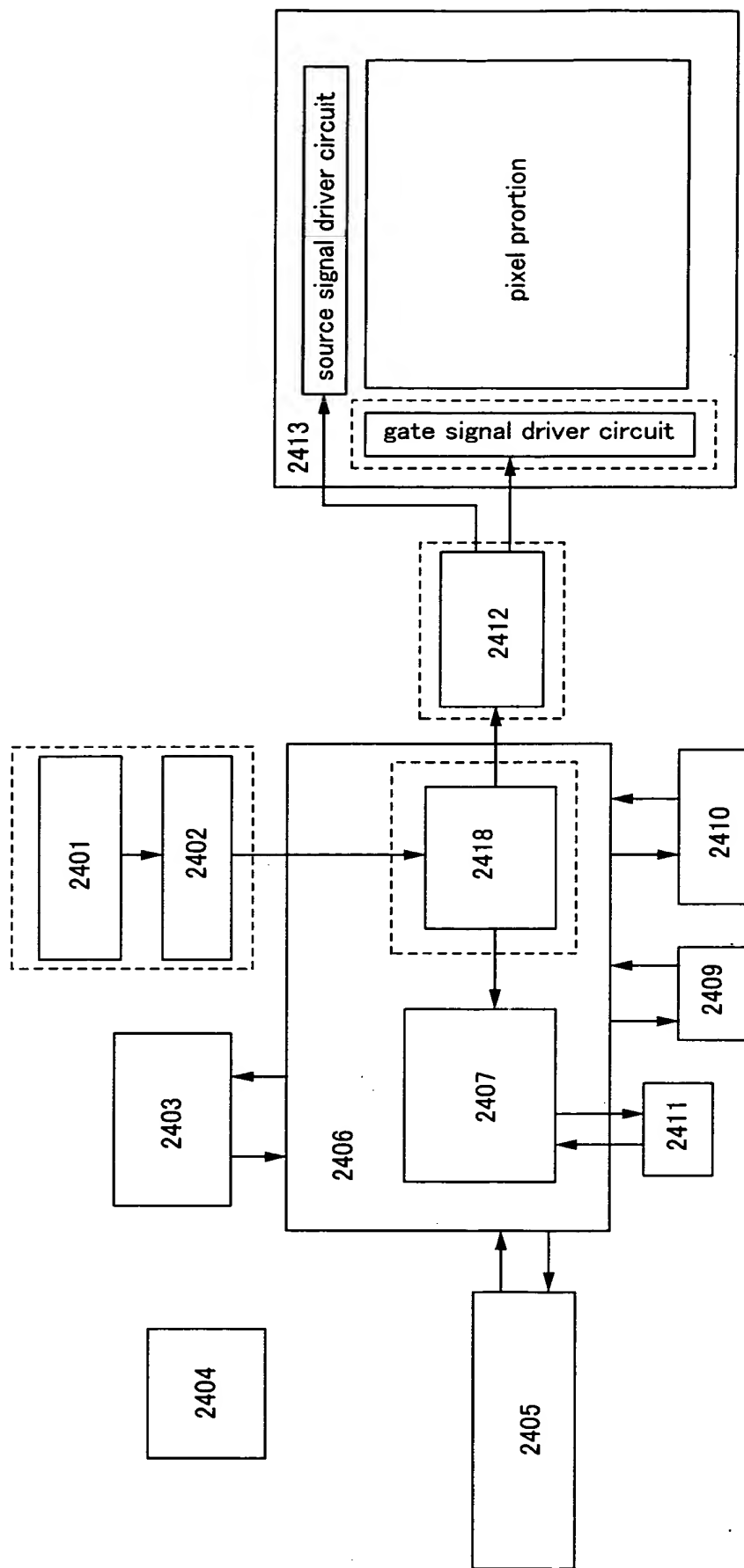


Fig. 1

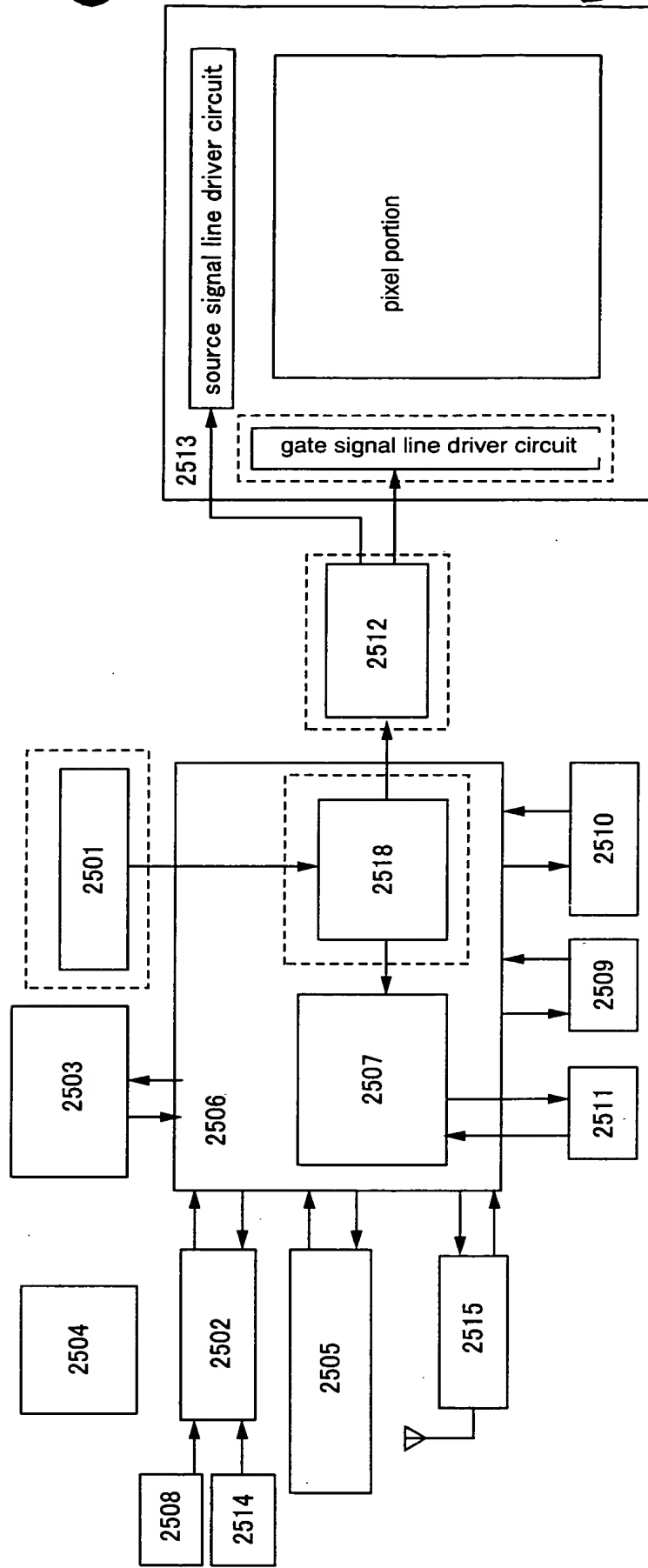


Fig. 2

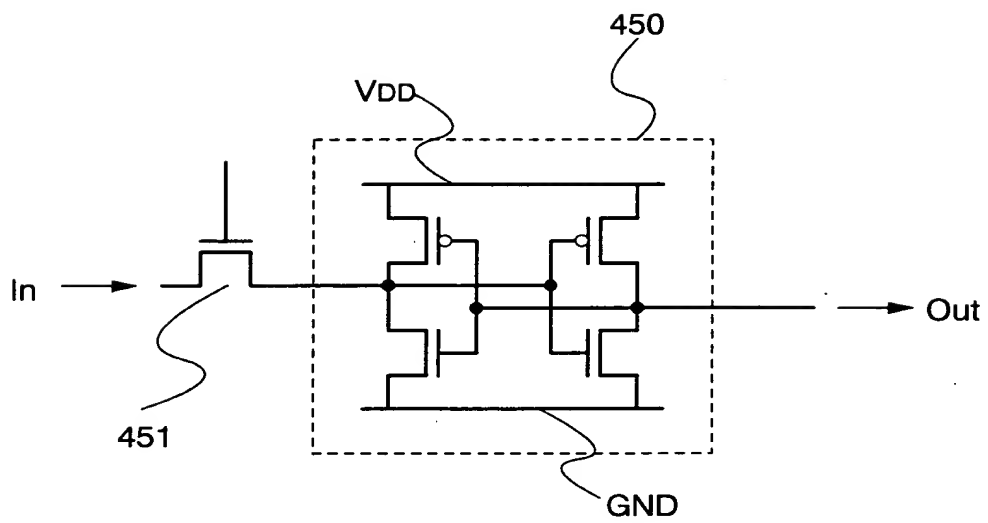


Fig. 4

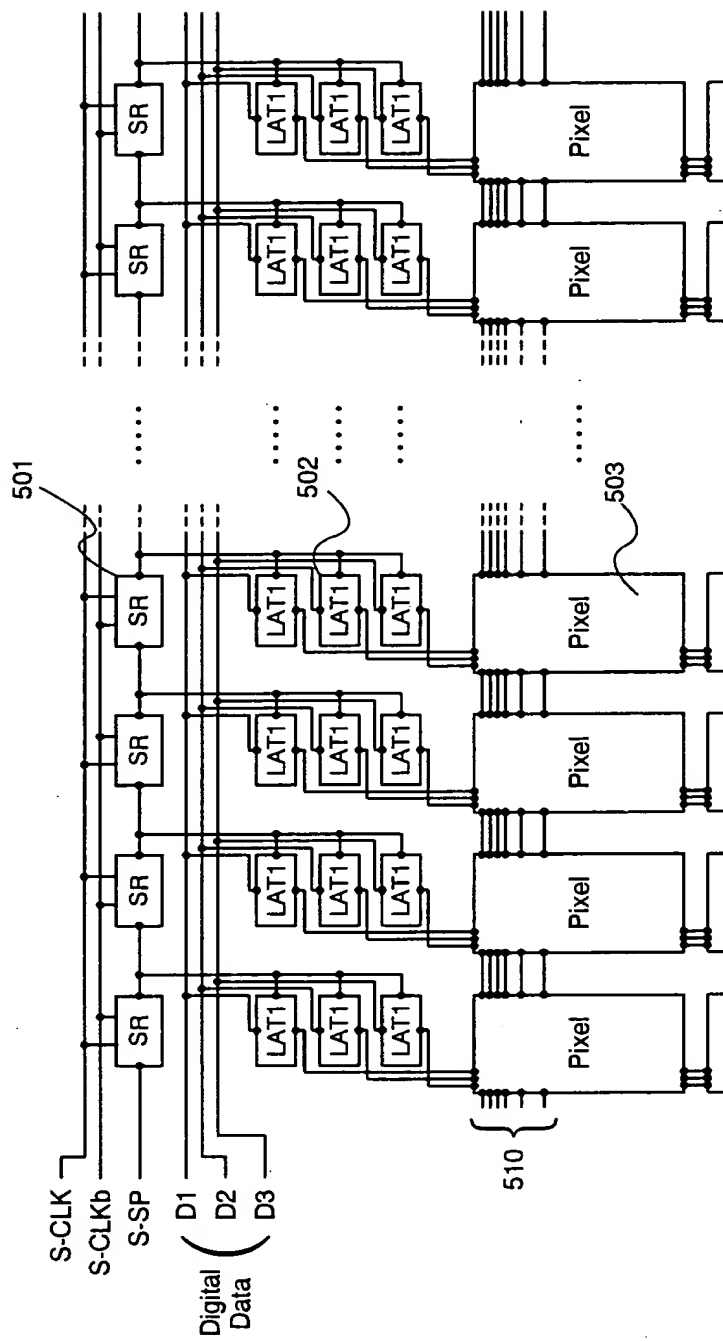


Fig. 5

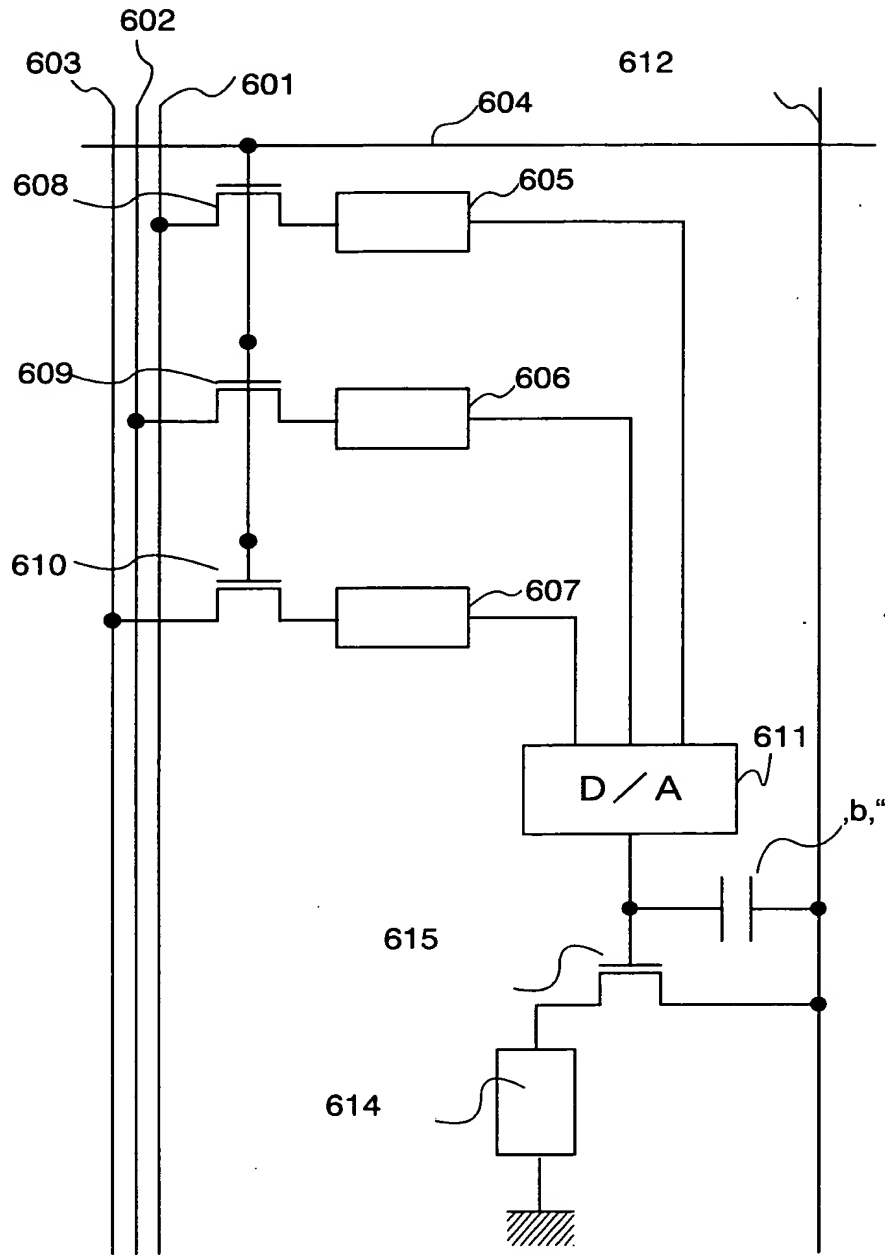


Fig. 6

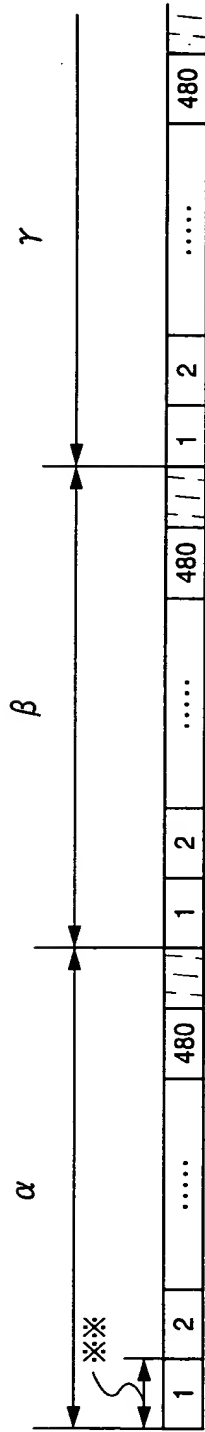


Fig. 7A

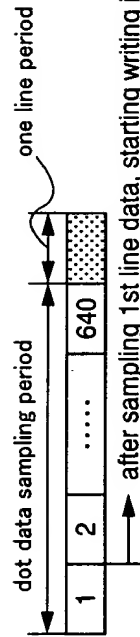


Fig. 7B

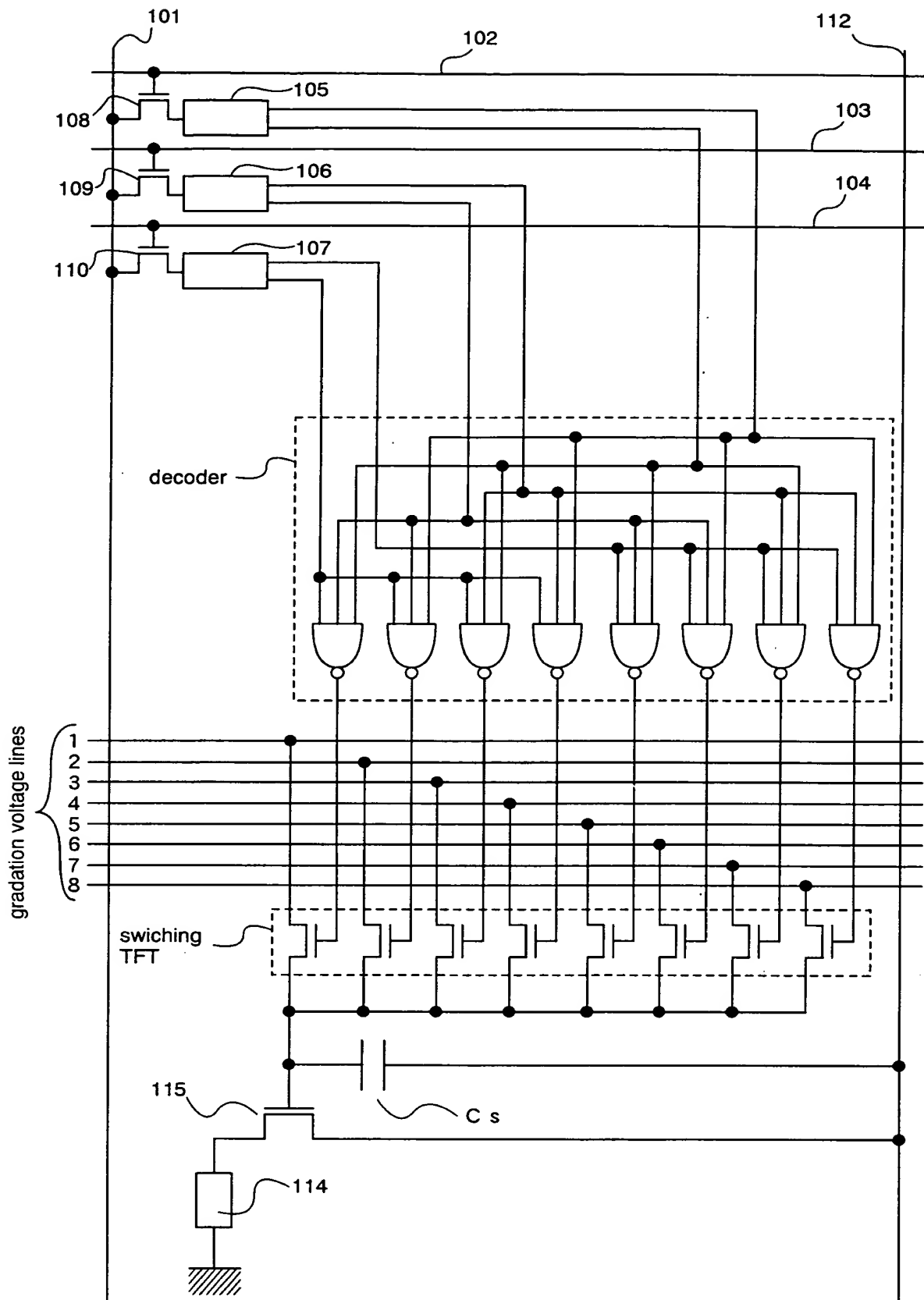


Fig. 8

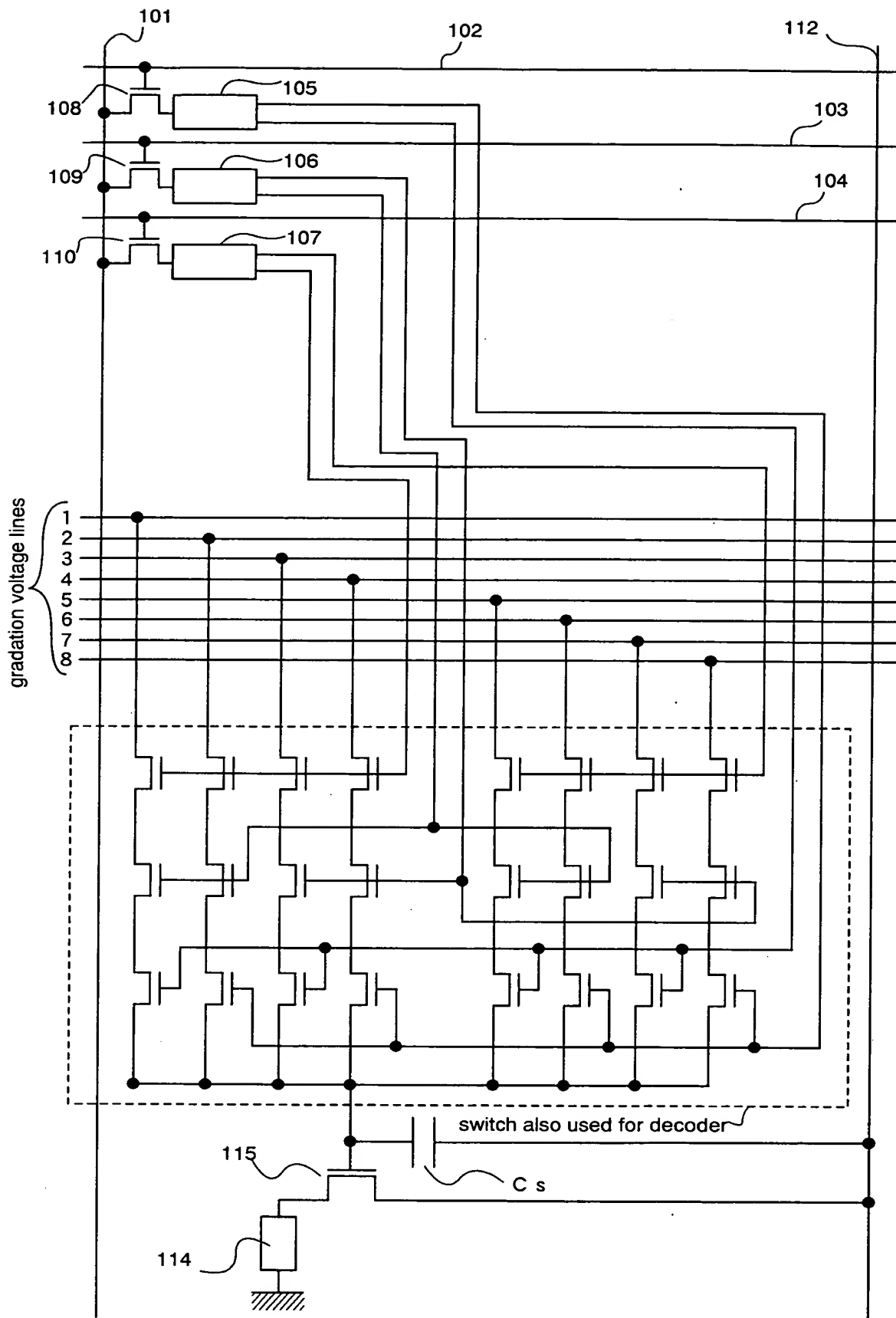


Fig. 9

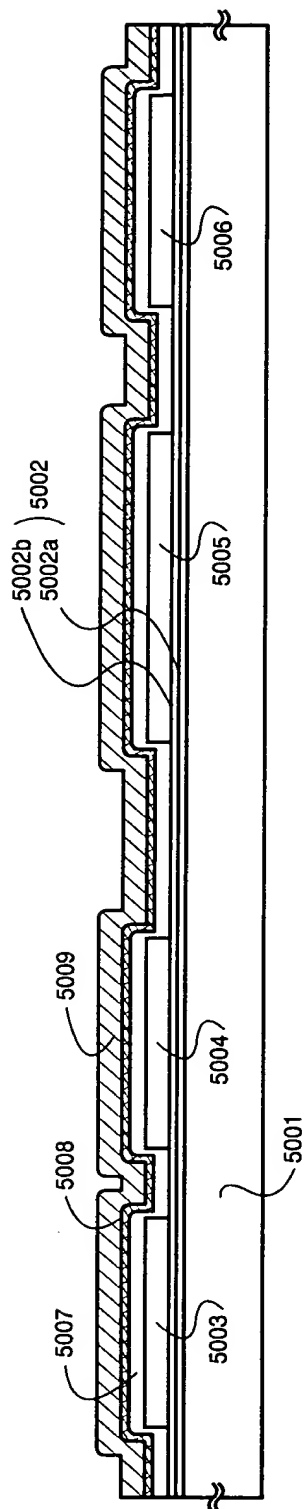


Fig. 10A

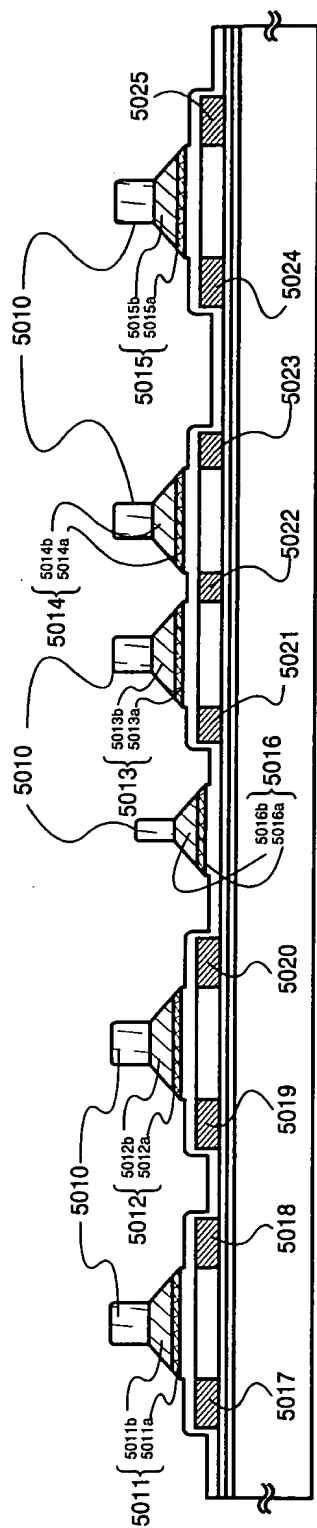


Fig. 10B

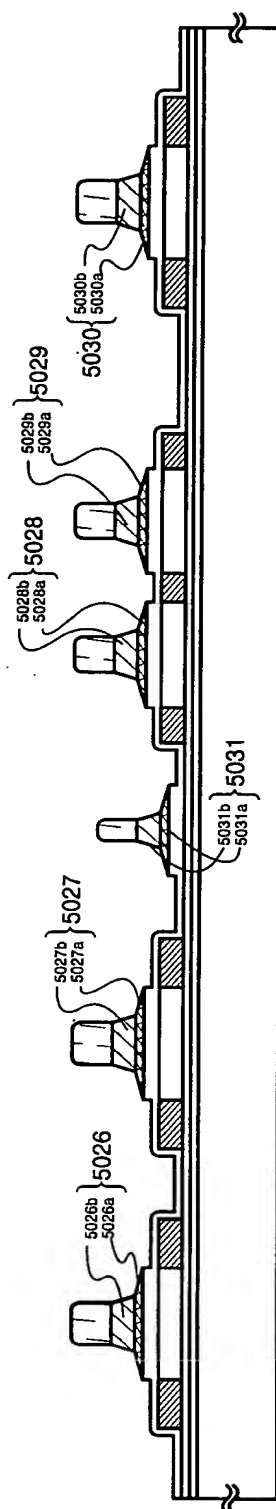


Fig. 10C

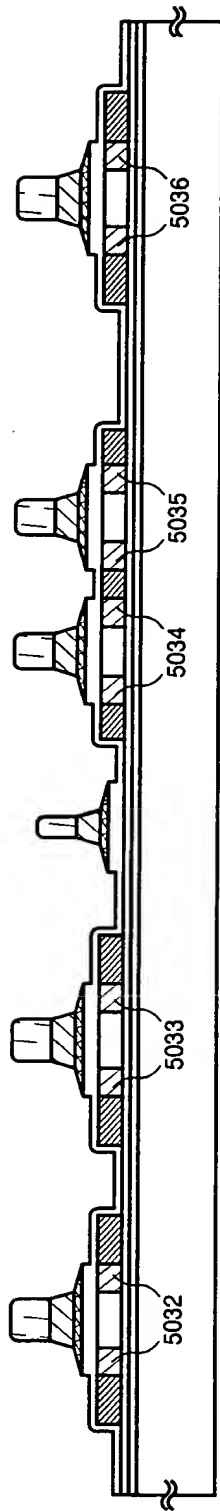


Fig. 11A

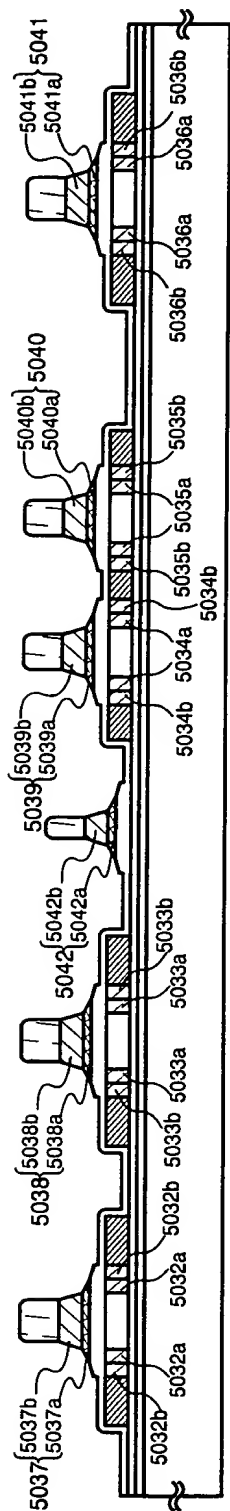


Fig. 11B

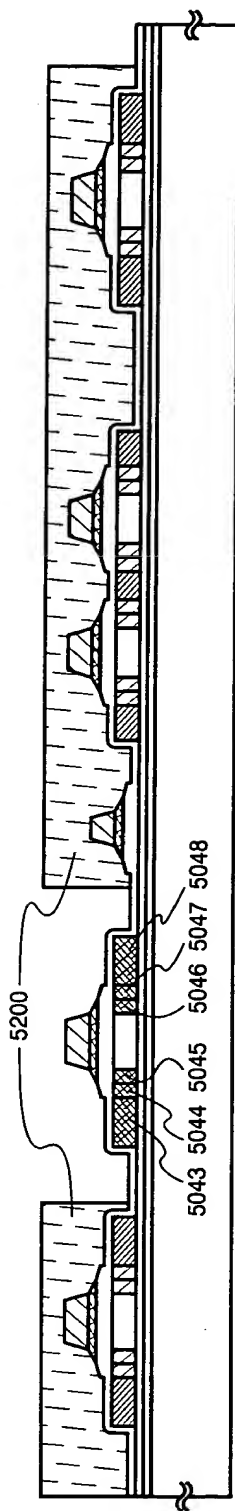


Fig. 11C

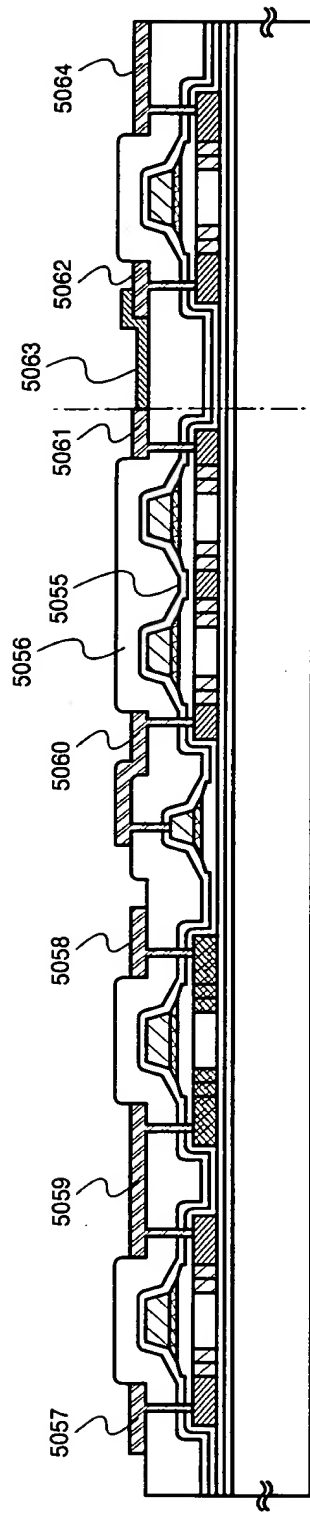


Fig. 12A

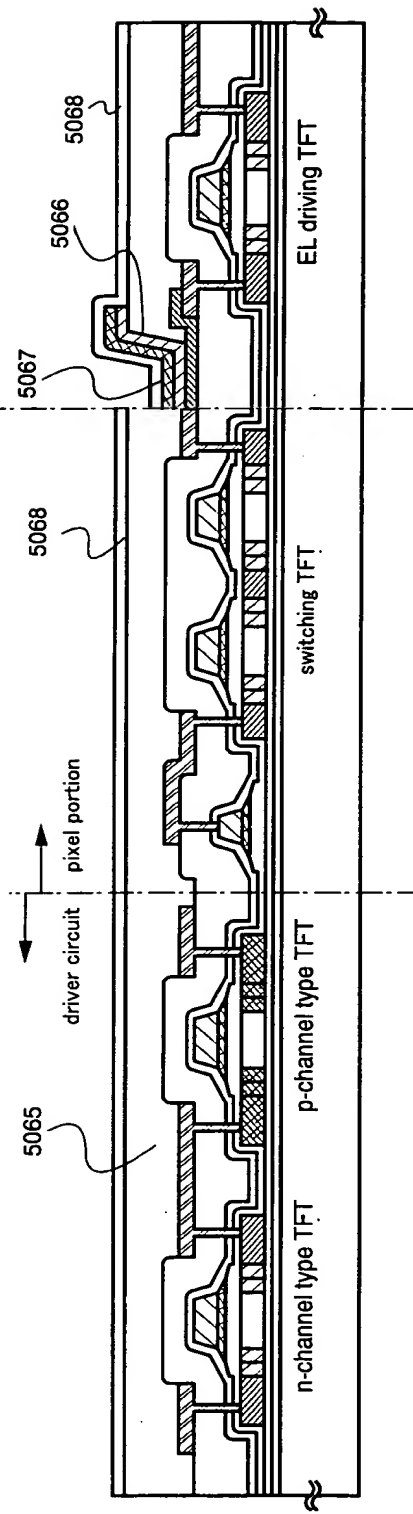


Fig. 12B

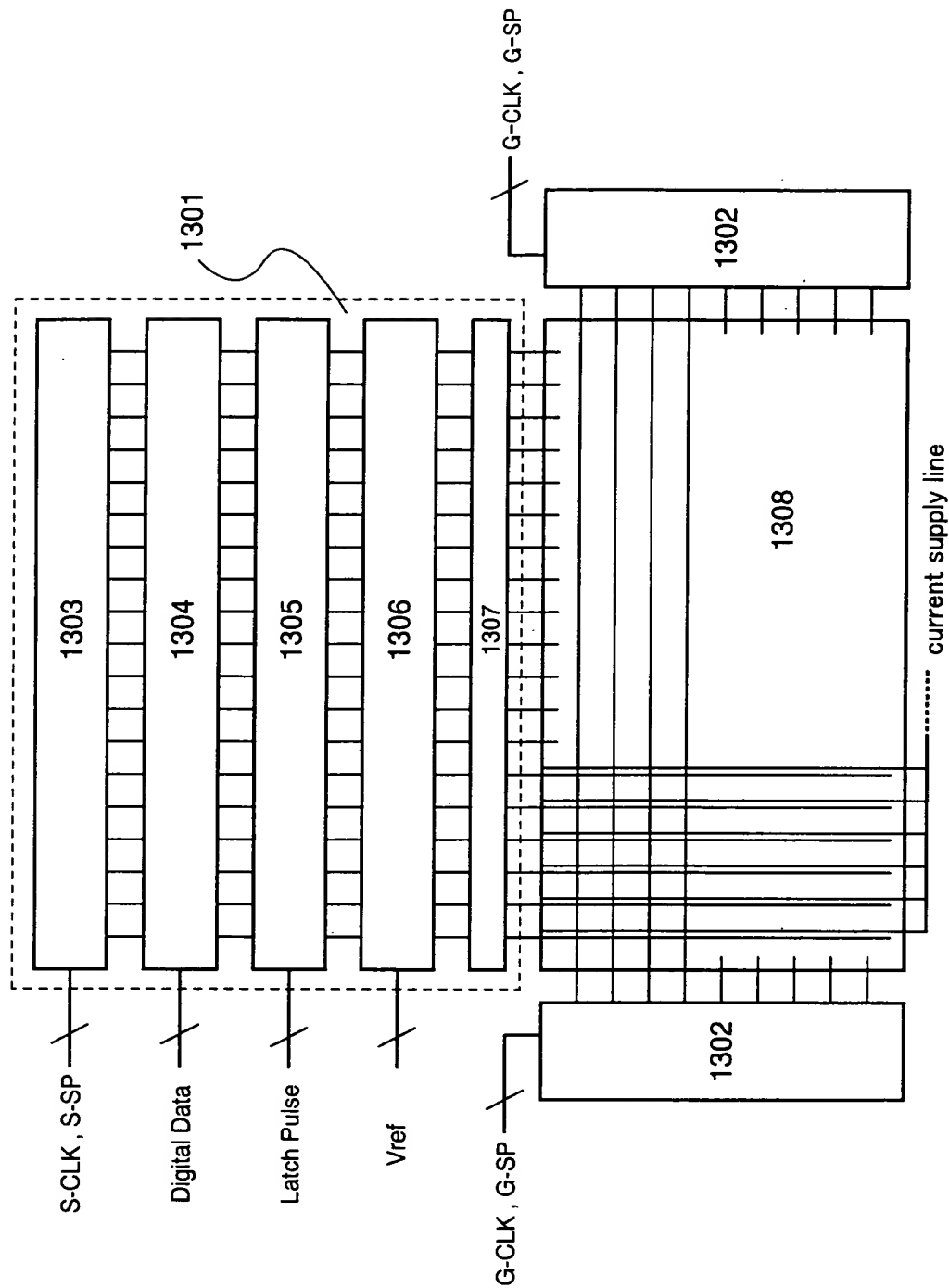


Fig. 13

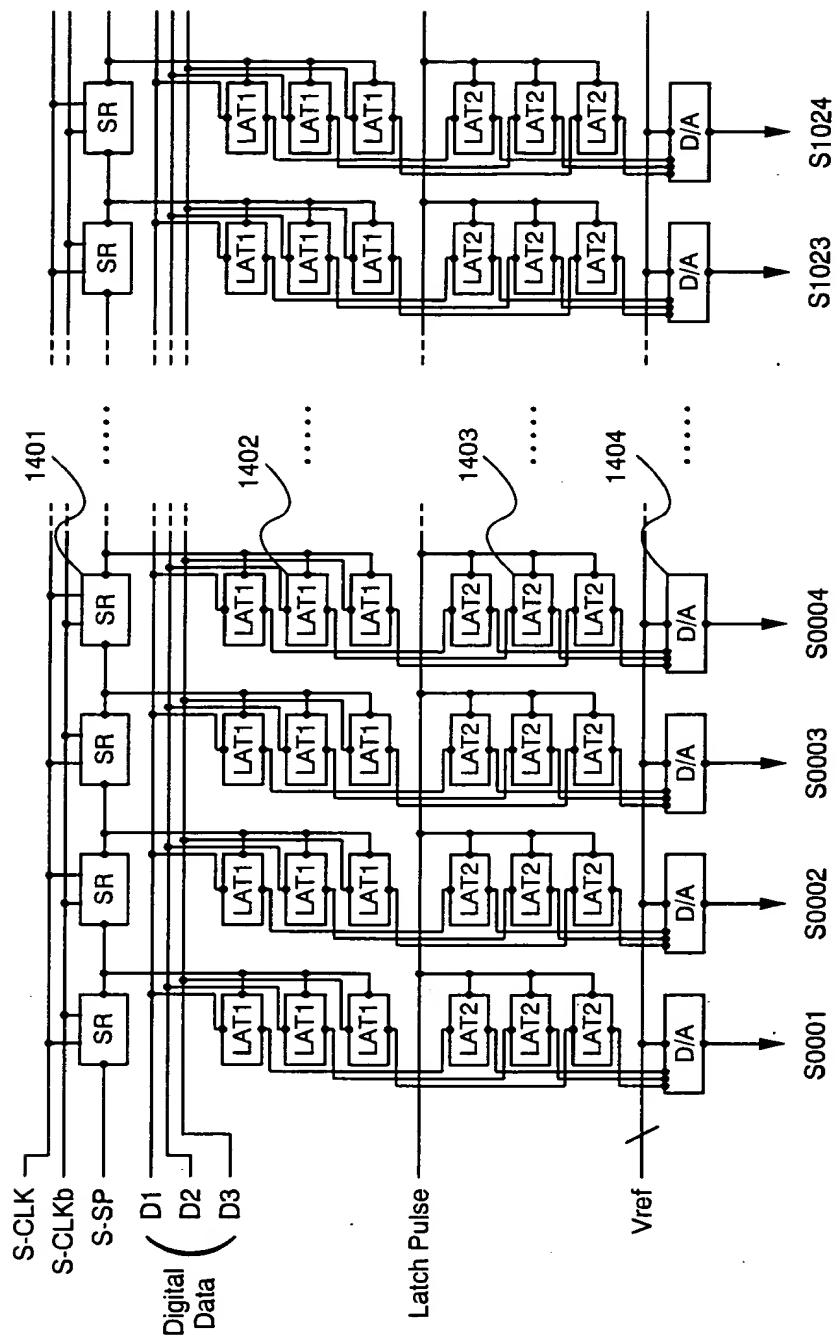


Fig. 14

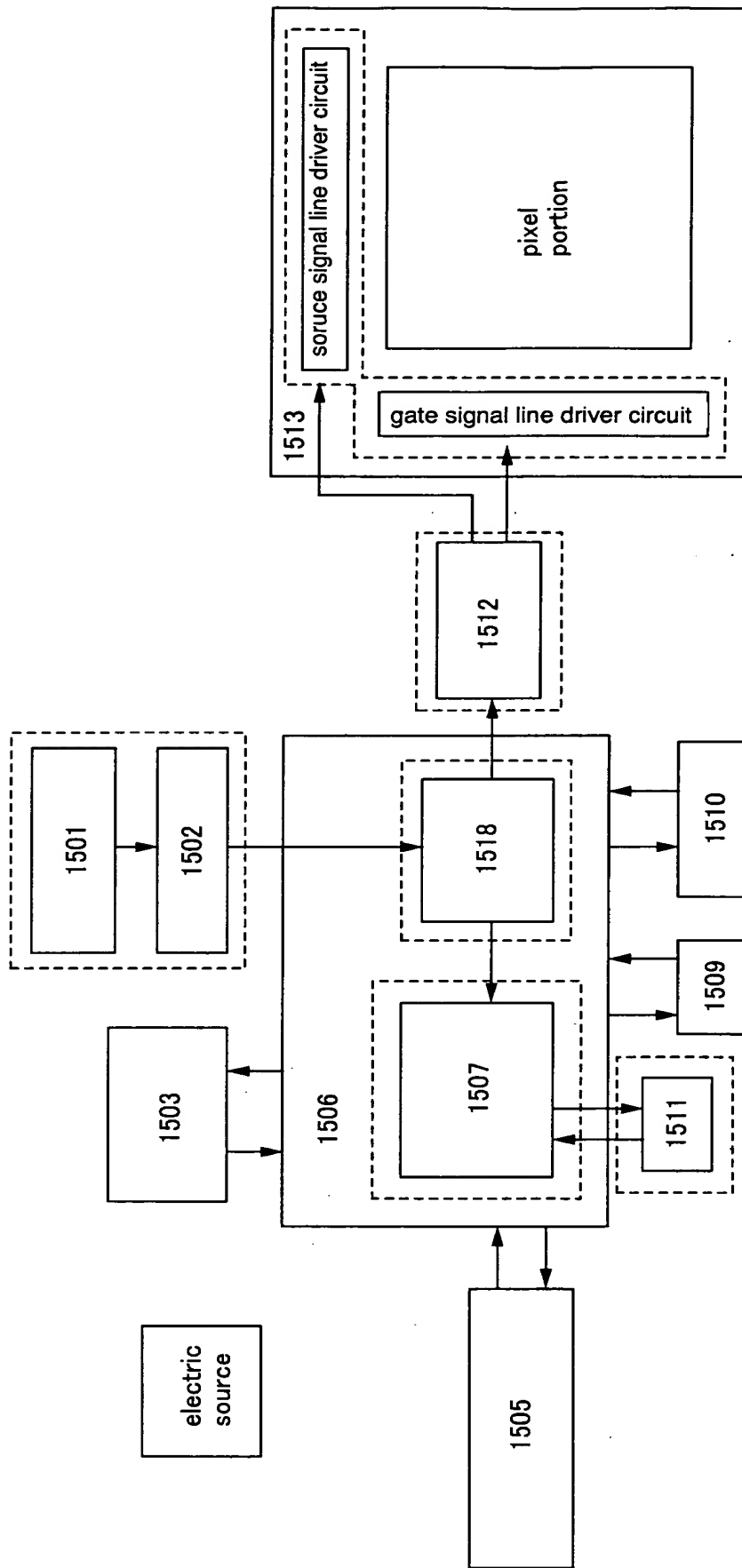


Fig. 15

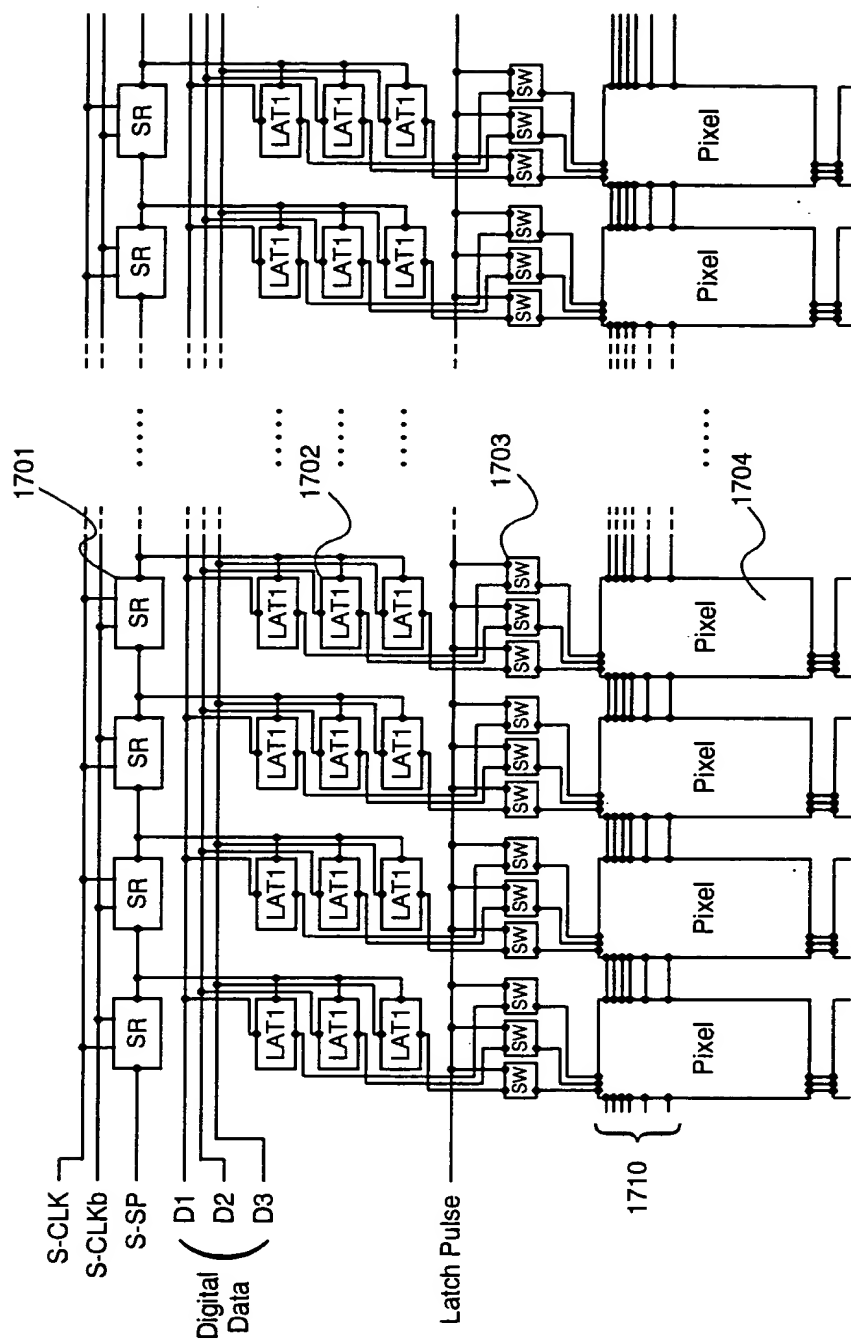


Fig. 17

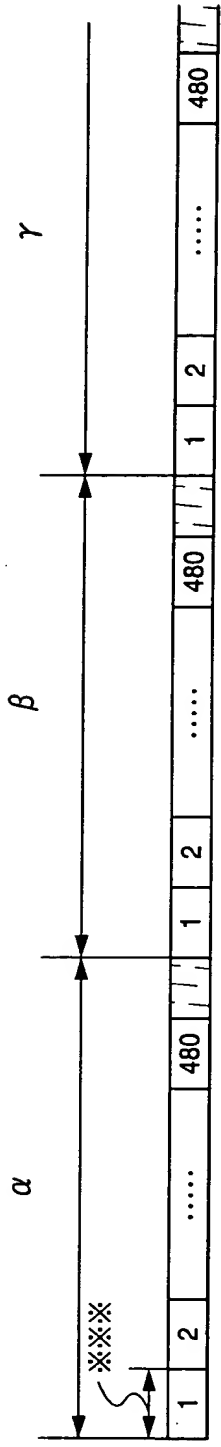


Fig. 18A

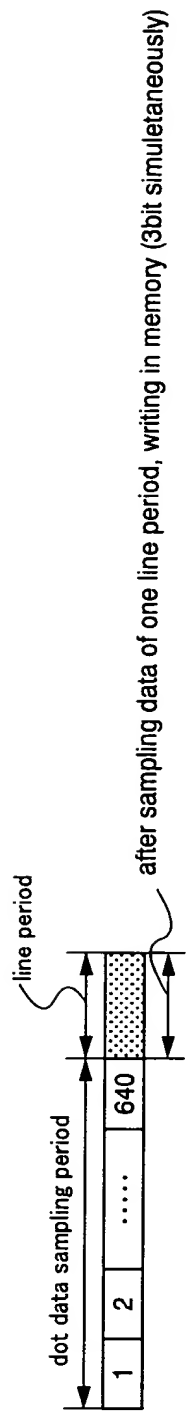


Fig. 18B

Fig. 19A

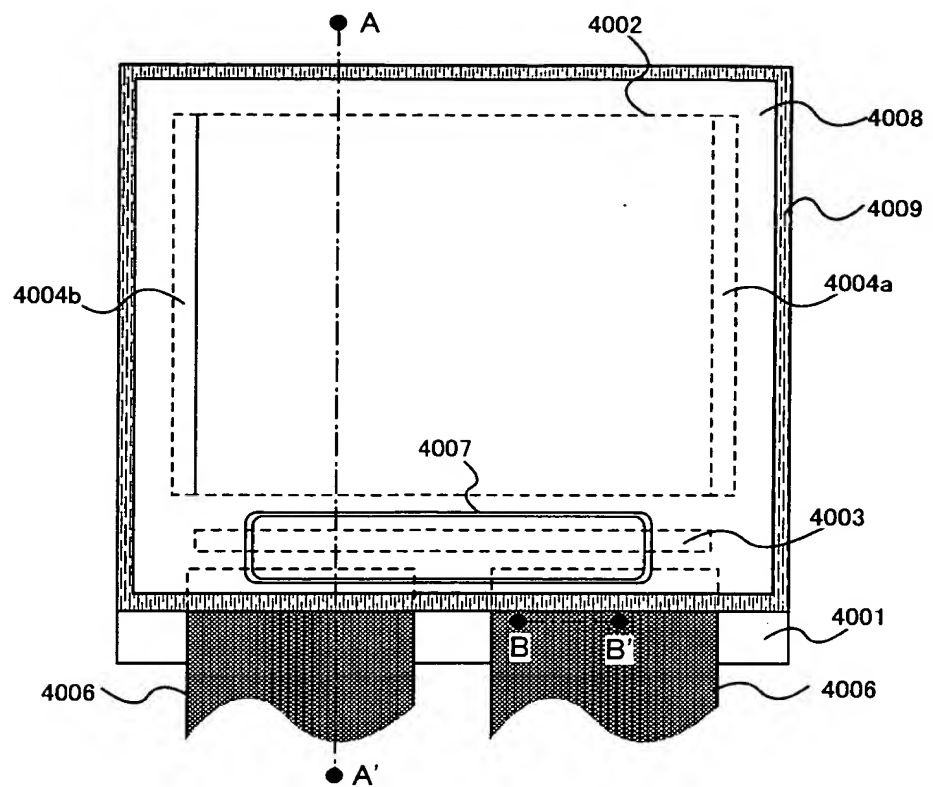


Fig. 19B

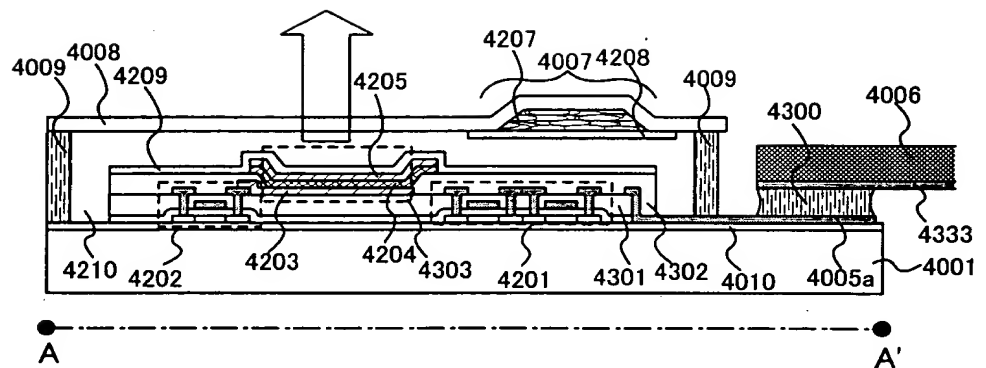
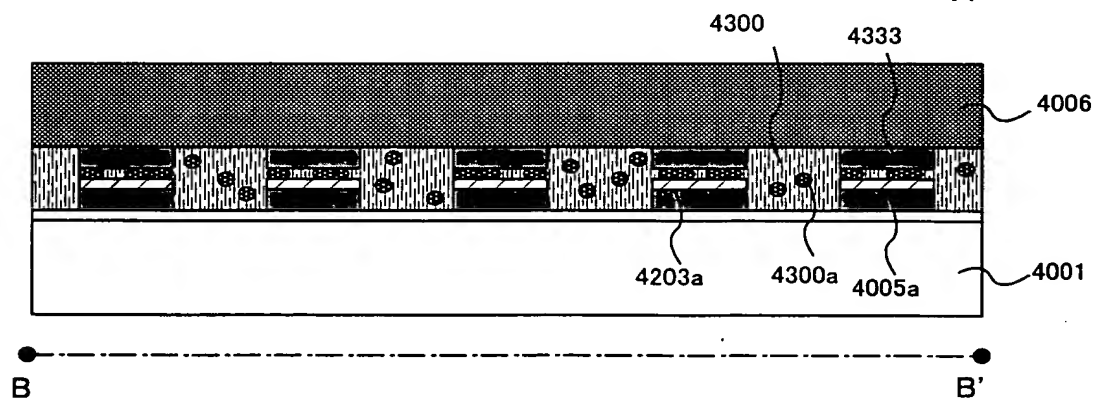


Fig. 19C



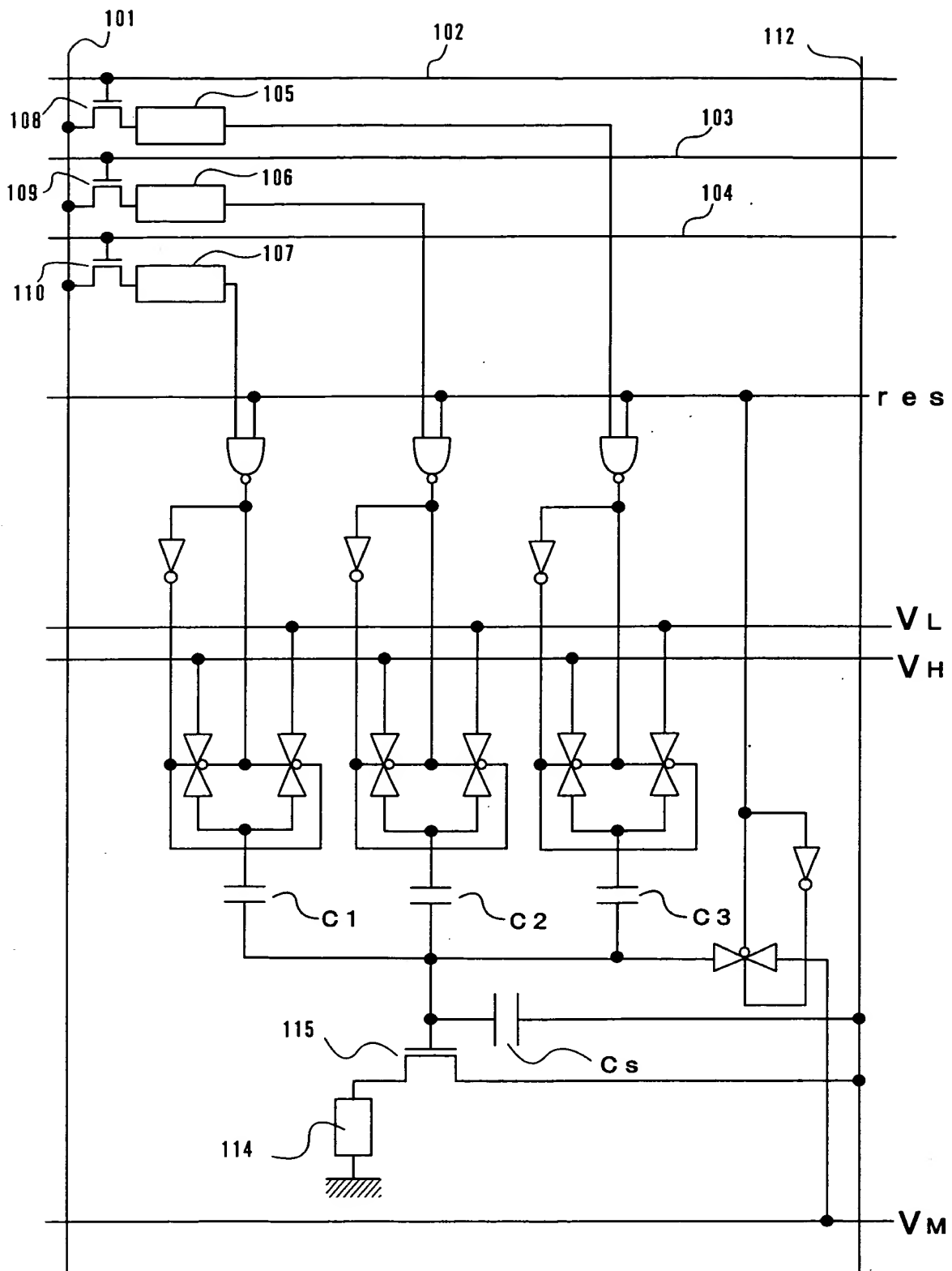


Fig. 20

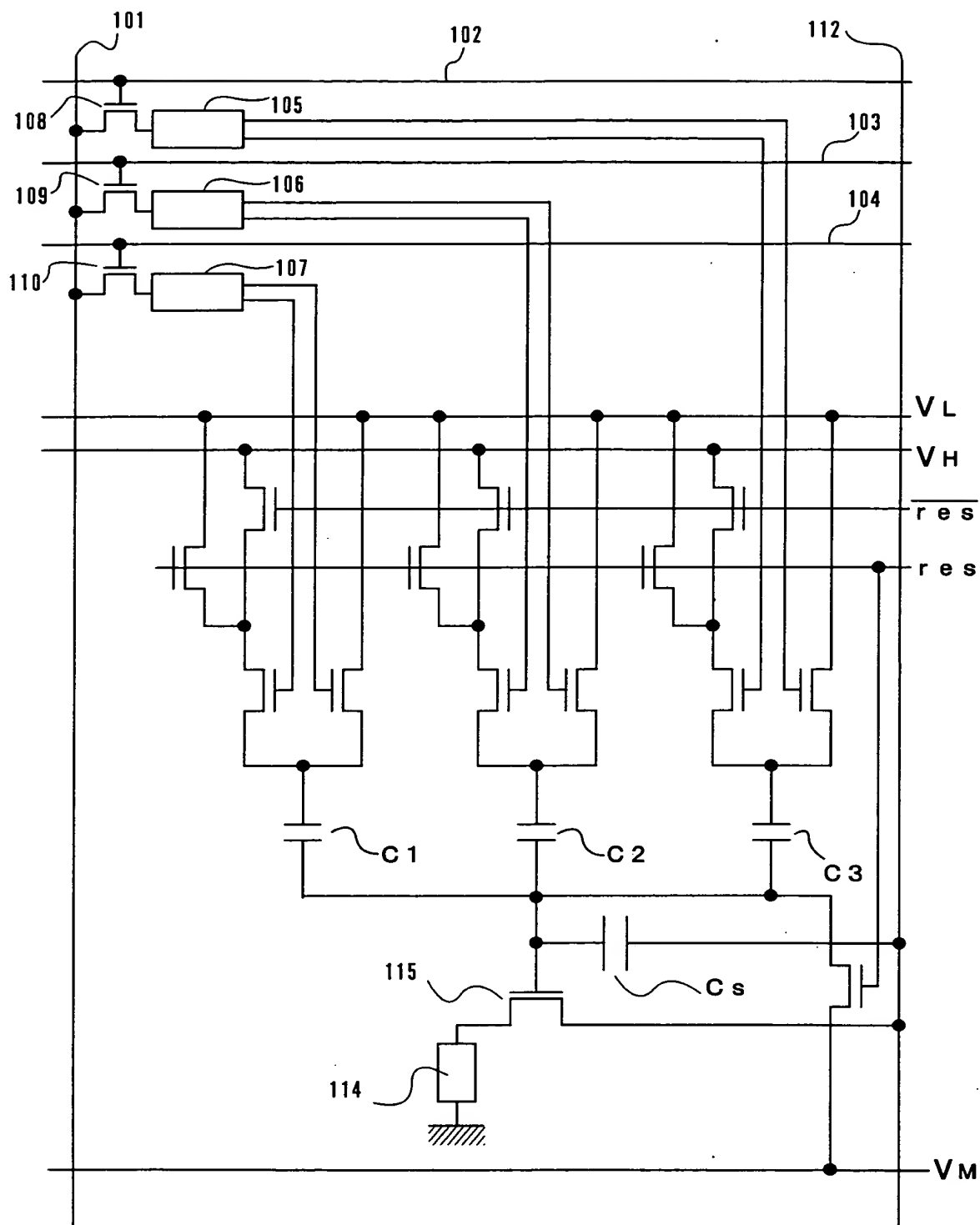


Fig. 21

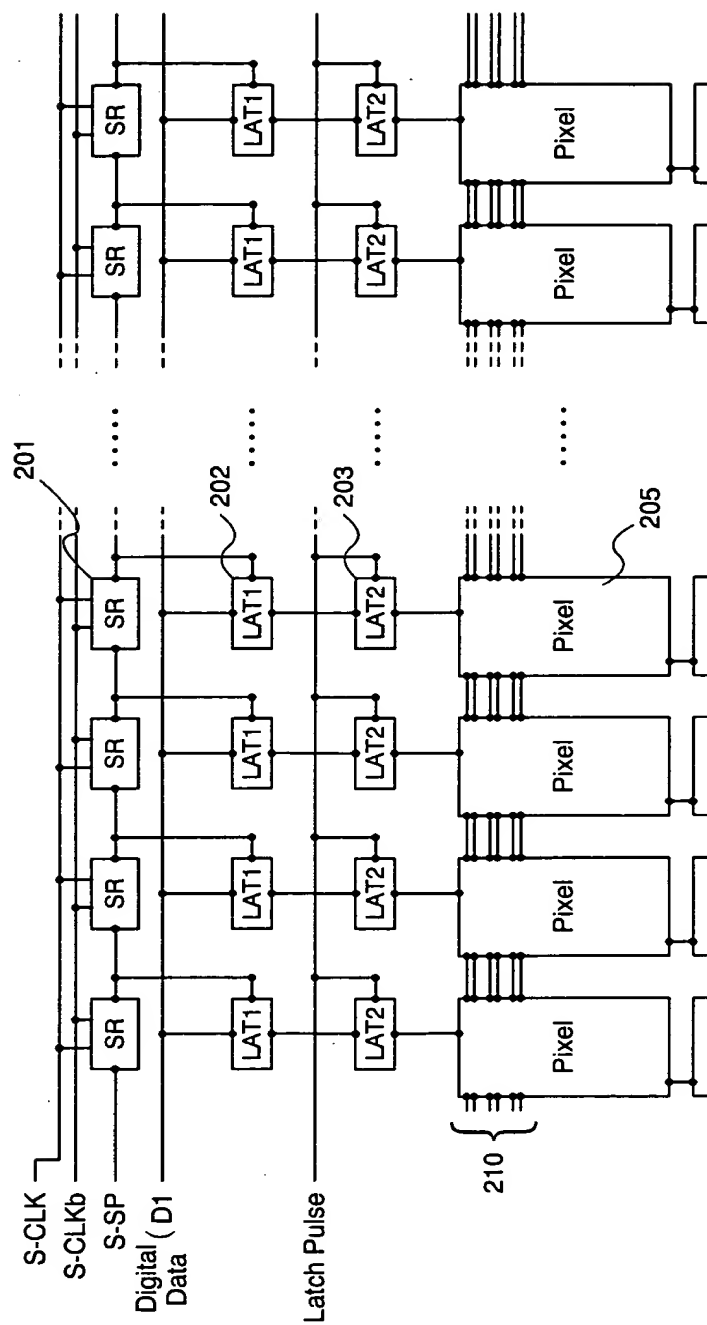


Fig. 22

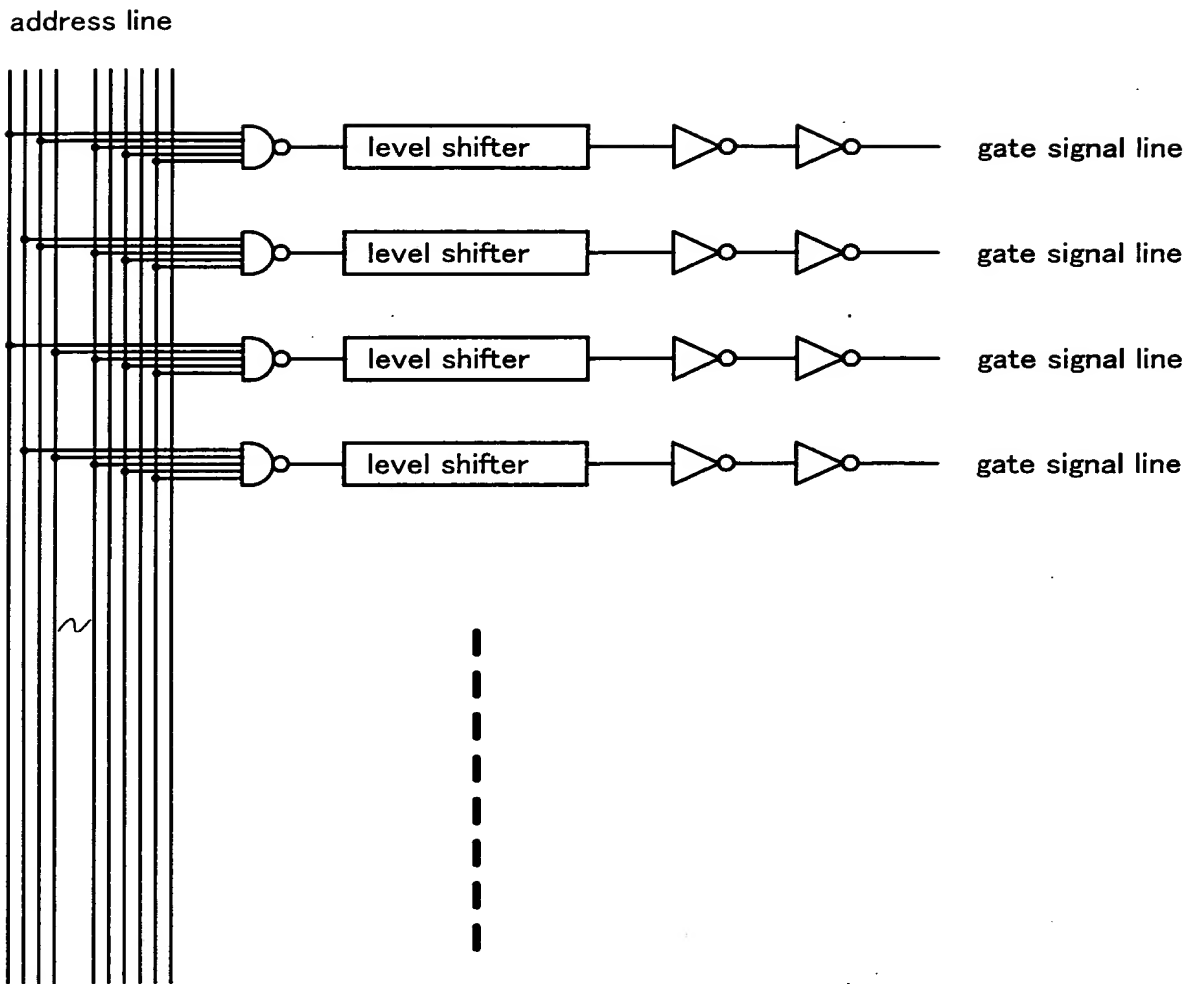


Fig. 23

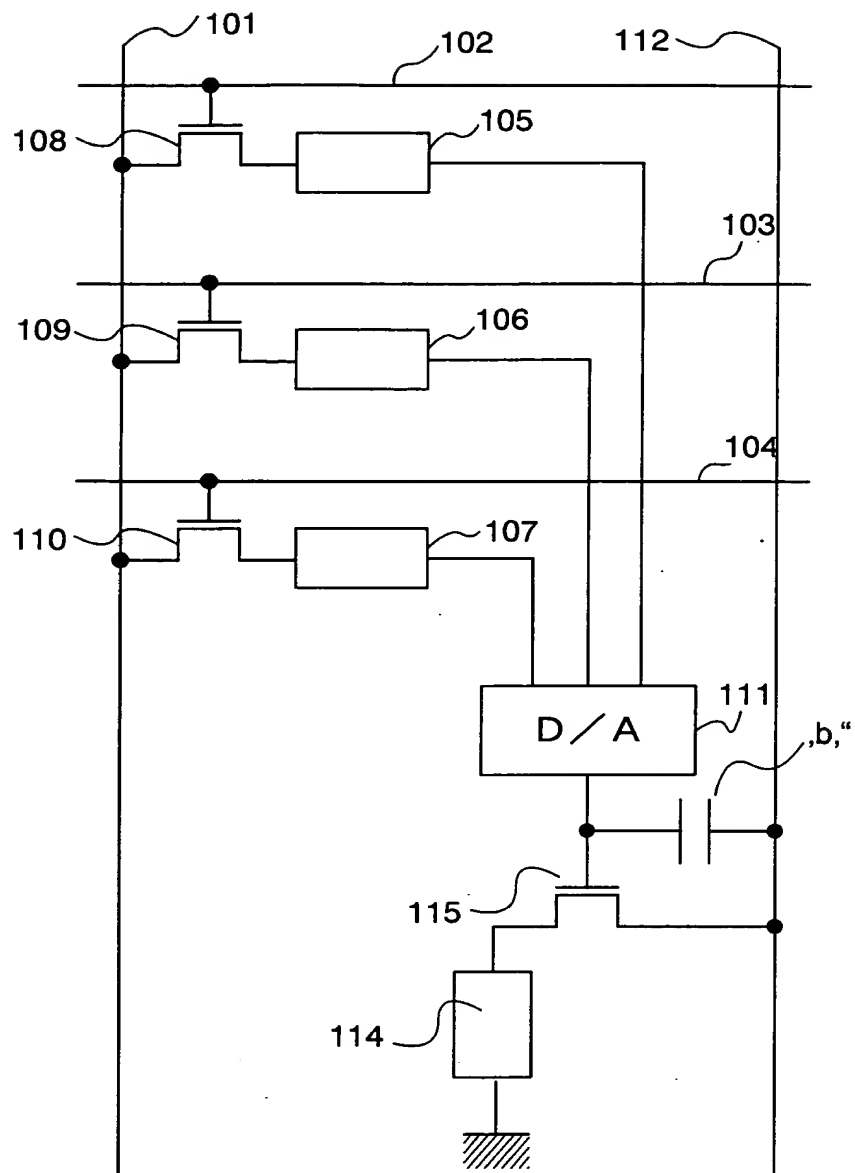


Fig. 24

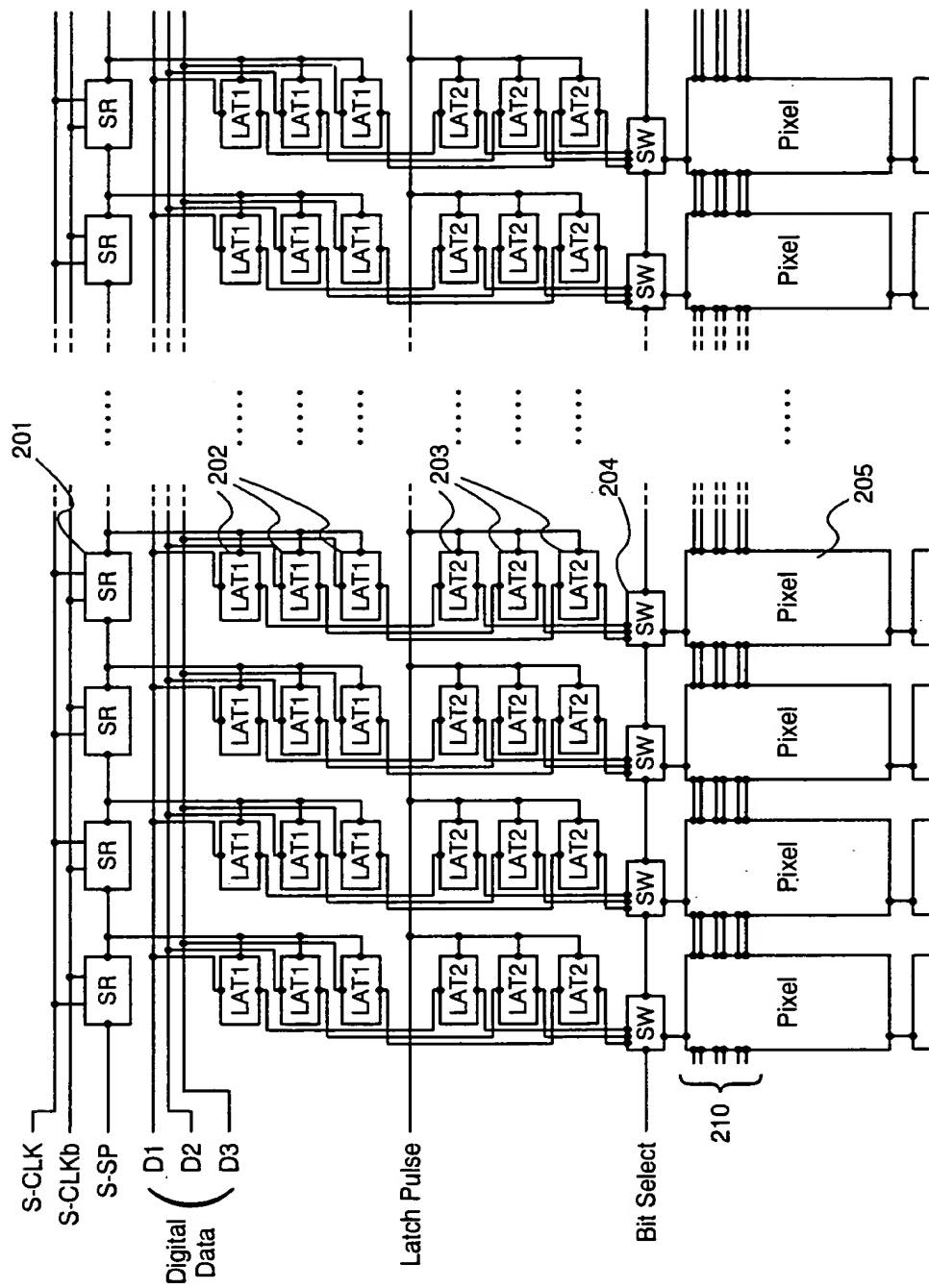


Fig. 25

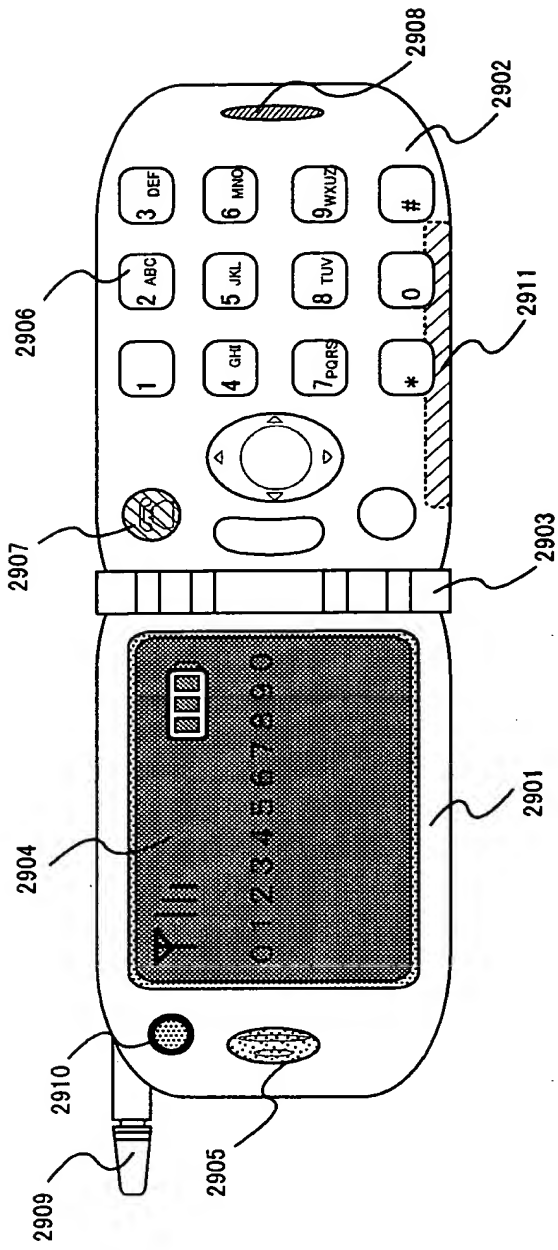


Fig. 27A

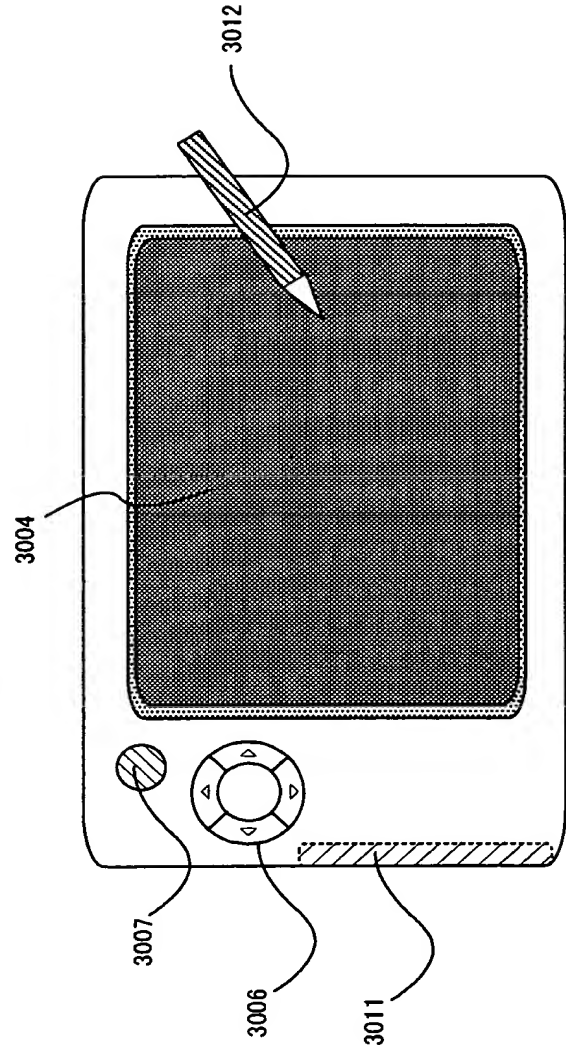


Fig. 27B

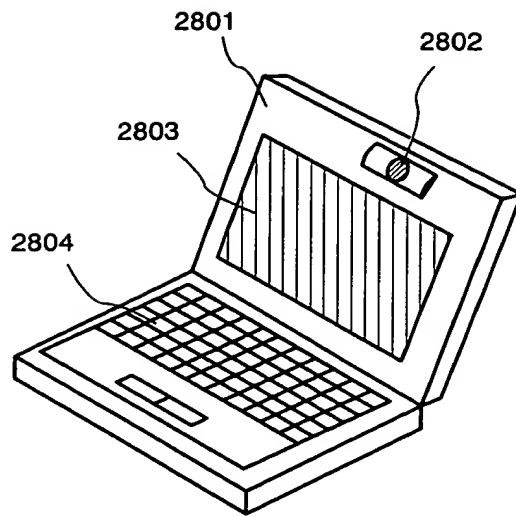


Fig. 28A

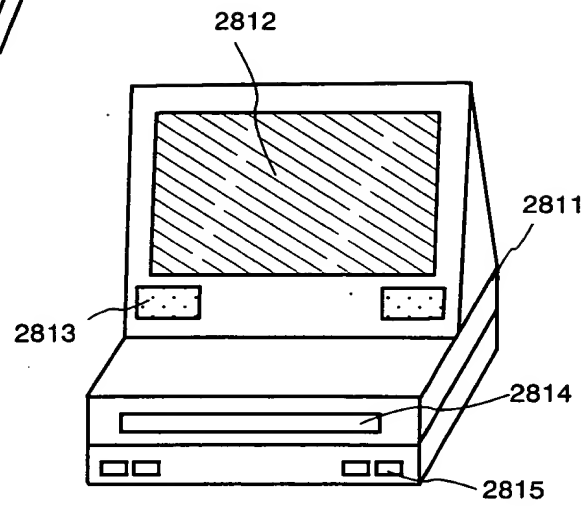


Fig. 28B

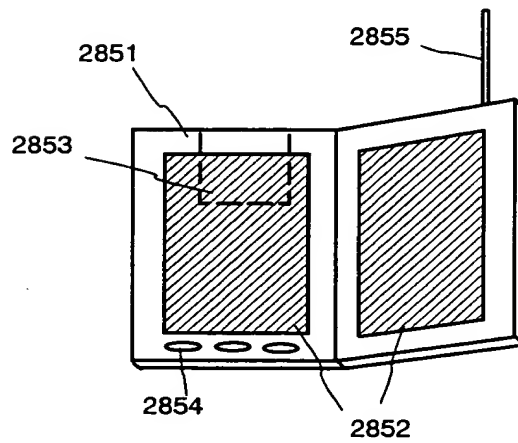


Fig. 28C

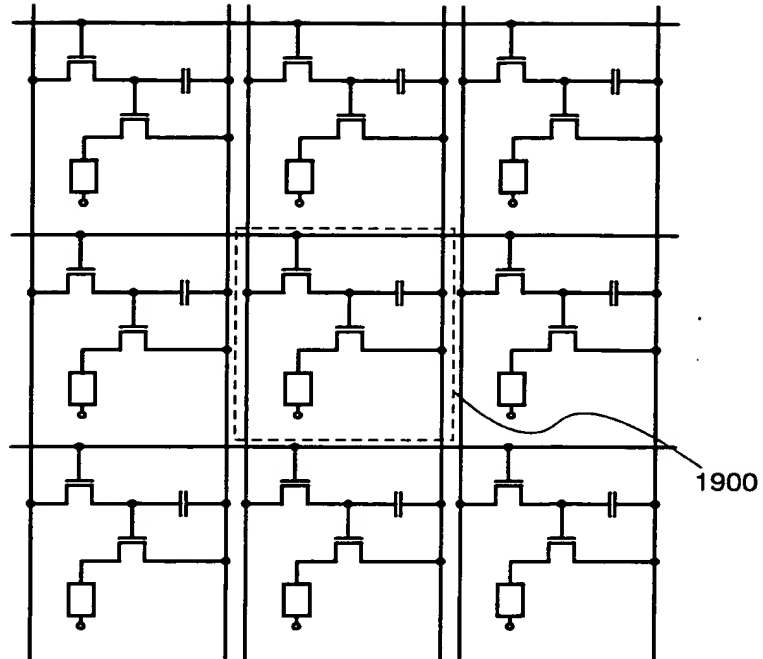


Fig. 29A

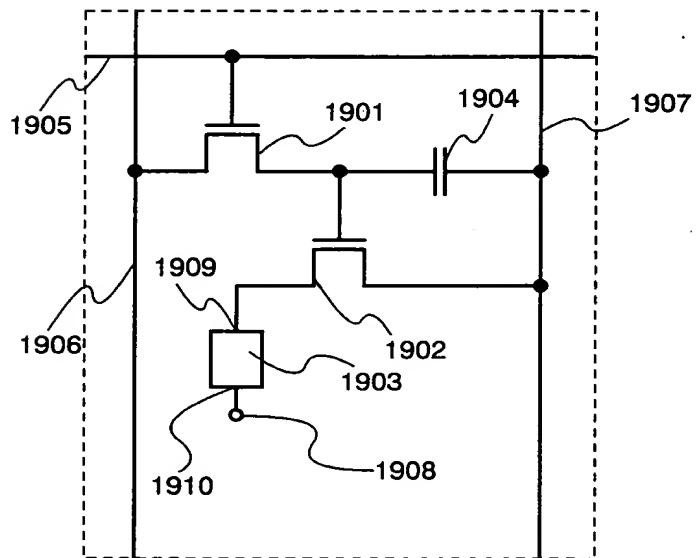


Fig. 29B

FIG. 30

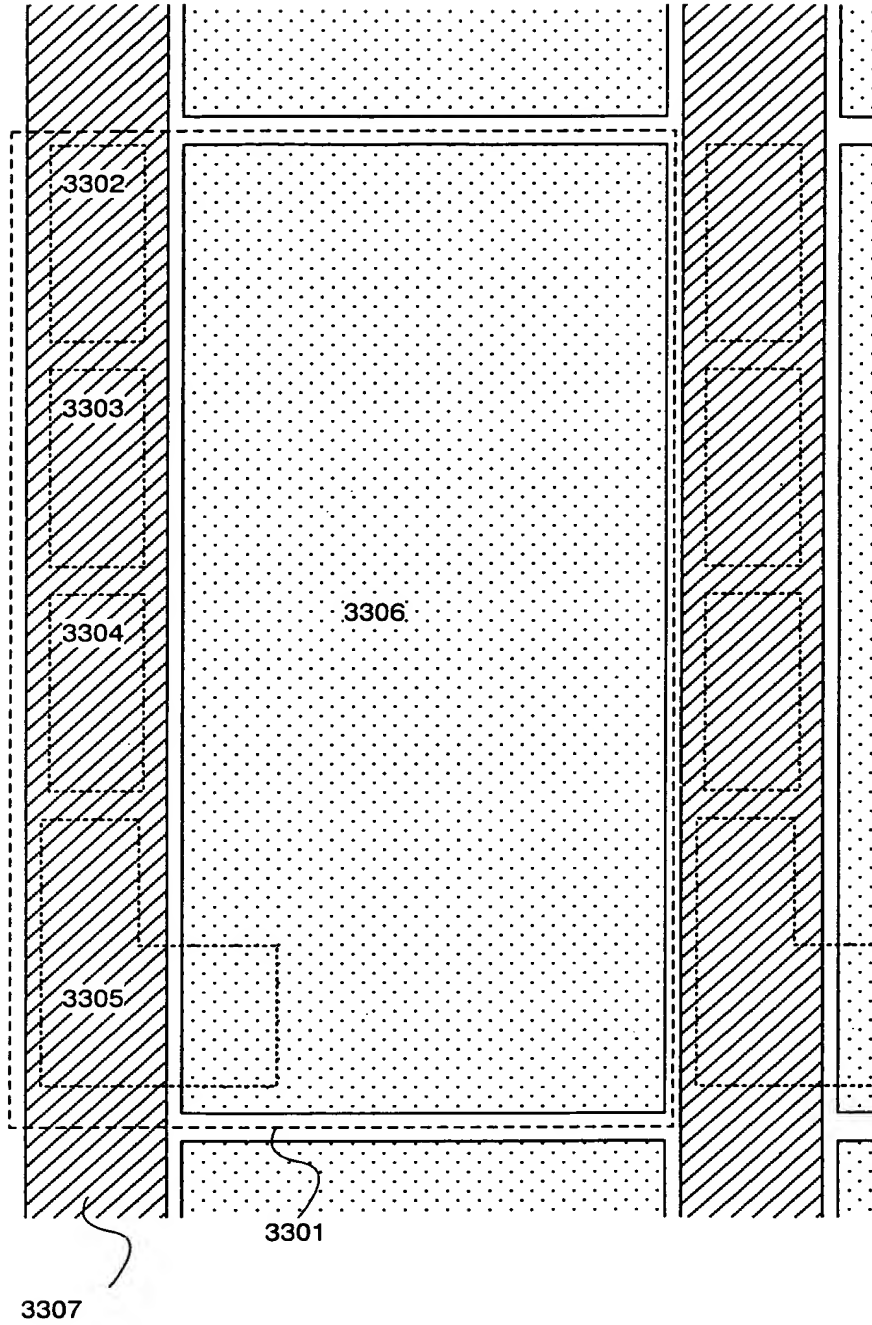


Fig. 30

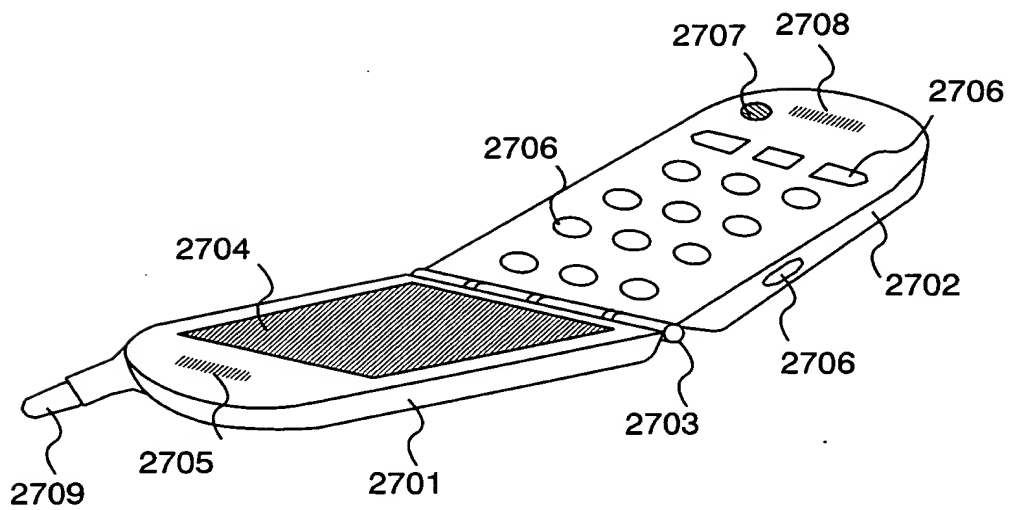


Fig. 31

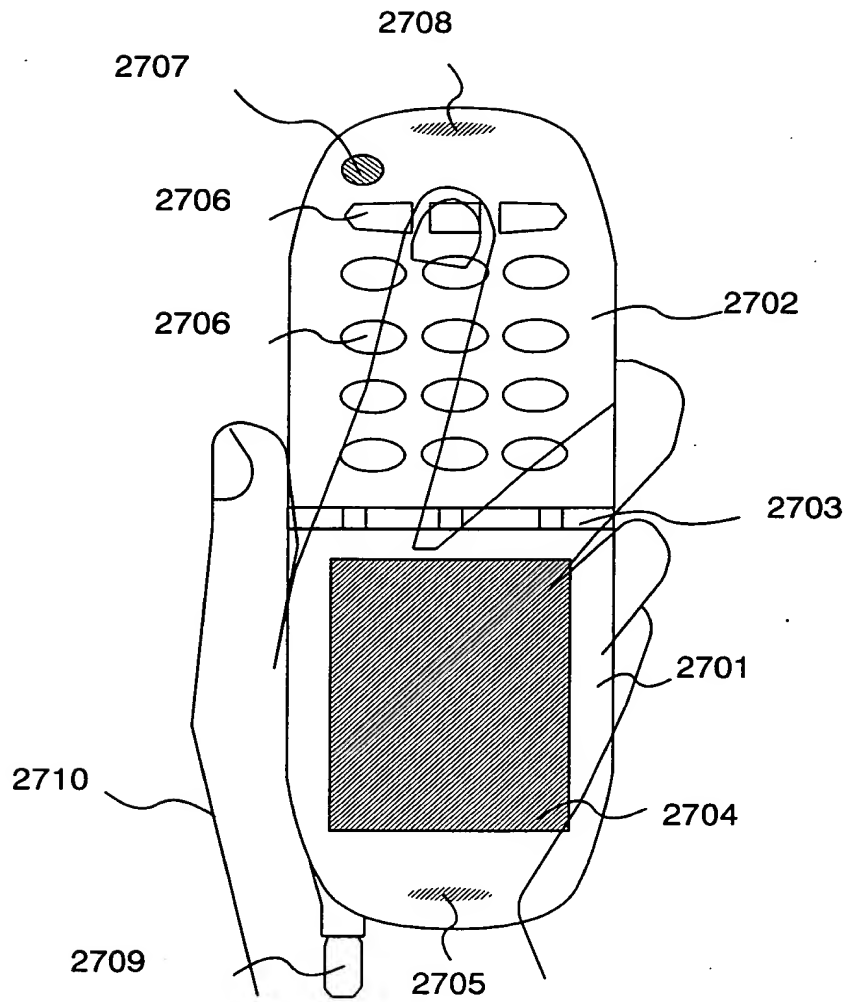


Fig. 32

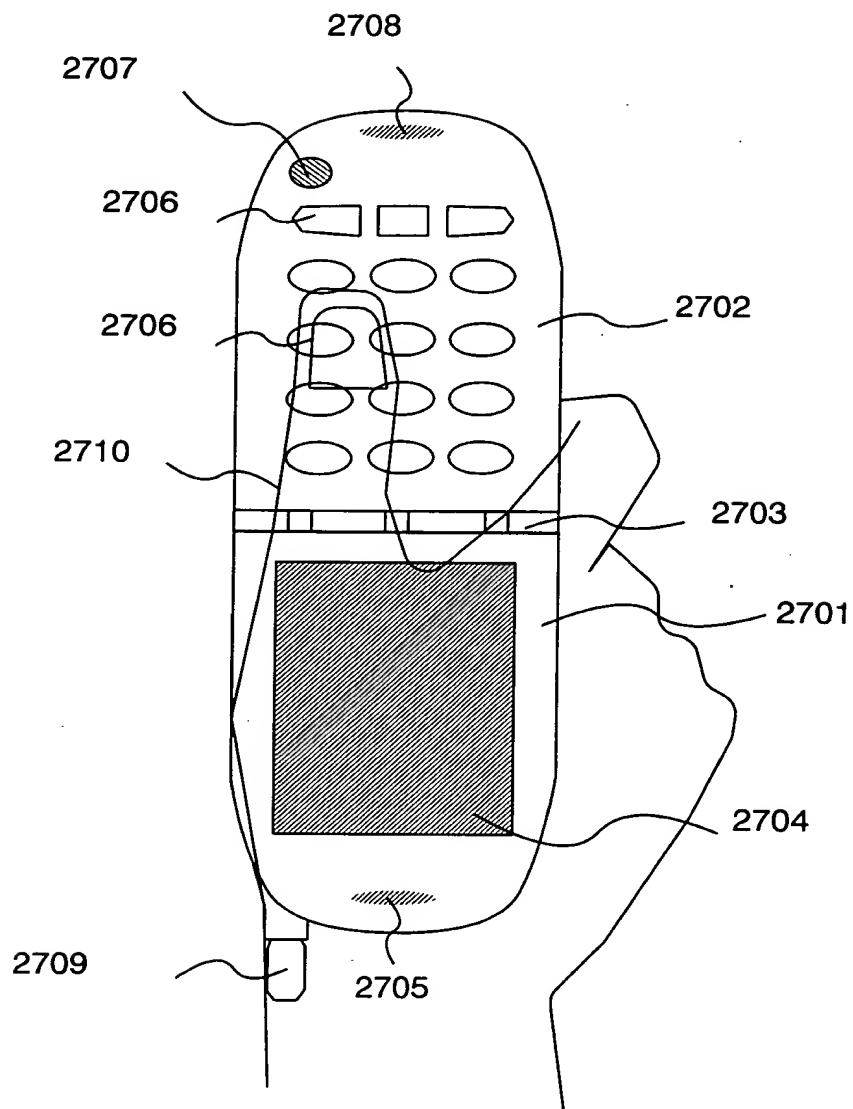


Fig. 33

driving waveform

optical response waveform

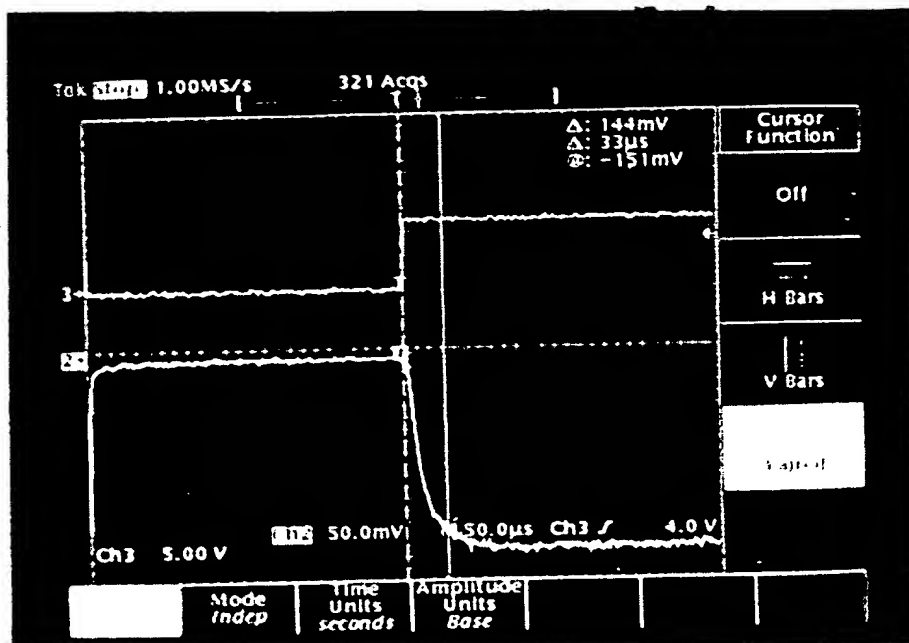


Fig. 34